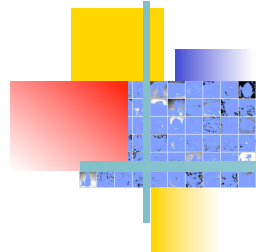


*Nouveaux résultats
en **classification**
à l'aide d'un codage
par motifs fréquents*

S. Jouteau, A. Cornuéjols, M. Sebag ([LRI](#))

Ph. Tarroux & J-S. Liénard ([LIMSI](#))

CNRS - Université de Paris-Sud, Orsay



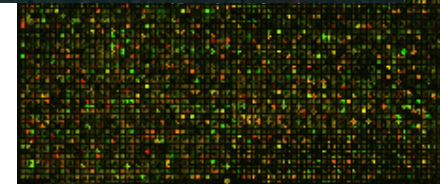
Données en grandes dimensions

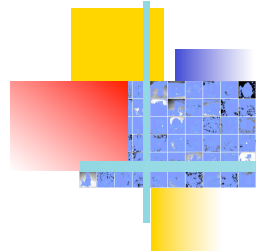
- Définies par un très grand nombre d' attributs

(Note : l'un des 10 pbs soulevés lors
mathématiques en 2000)

- Exemples :

- Puces ADN
 - E.g. 6400 gènes,
 - ➔ organismes sains ou irradiés
- Images
 - E.g. 256*256*(256 niveaux de gris)
 - ➔ Formes présentes dans l'image

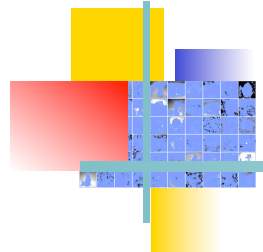




L'objectif

→ *Identifier des régularités dans des données de très grandes dimensions*

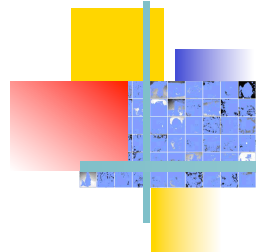
- Apprentissage supervisé multi-classes
- Beaucoup de dimensions + peu d' exemples
 - = Difficulté pour distinguer vraies régularités et coïncidences



Prétraitements

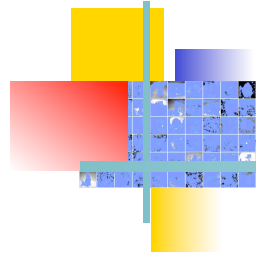
■ Réduction de dimension

- Sélection d' attributs
 - Élimination des redondances (*ACP*, ...)
 - Recherche de corrélations (attribut-classe)
- Modélisation : hypothèses sur la statistique du signal
 - Analyse de *Fourrier*
 - Analyse en *ondelettes*



Cas de l'analyse de scènes

- Scènes naturelles \neq scènes artificielles
- Observations neurobiologiques : **codage clairsemé**
- Hypothèse : signal résultant d'une **superposition de « formes latentes »**
 - ➡ *Analyse en composantes indépendantes* (ACI)

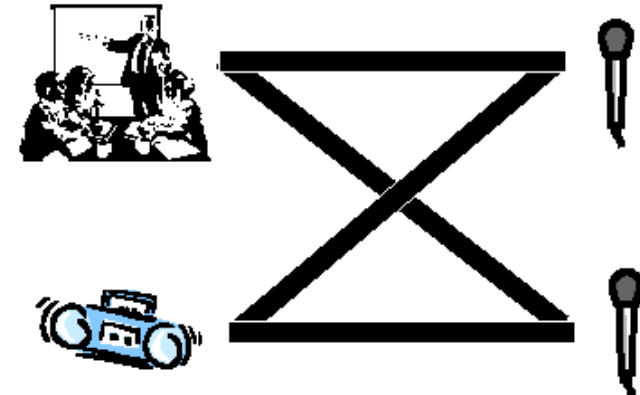


L'analyse en composantes indépendantes

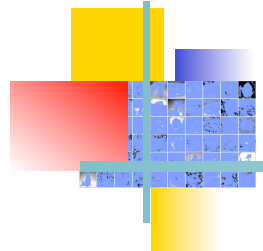
(Introduite en 1984. Développée dans les 90s)

Hyp. de base : *les données résultent d'une combinaison linéaire de formes latentes*

→ Recherche de ces formes latentes



- **Mais :**
 - Inapplicable en grande dimension
 - Hypothèse de linéarité



L'ACI en analyse de scènes

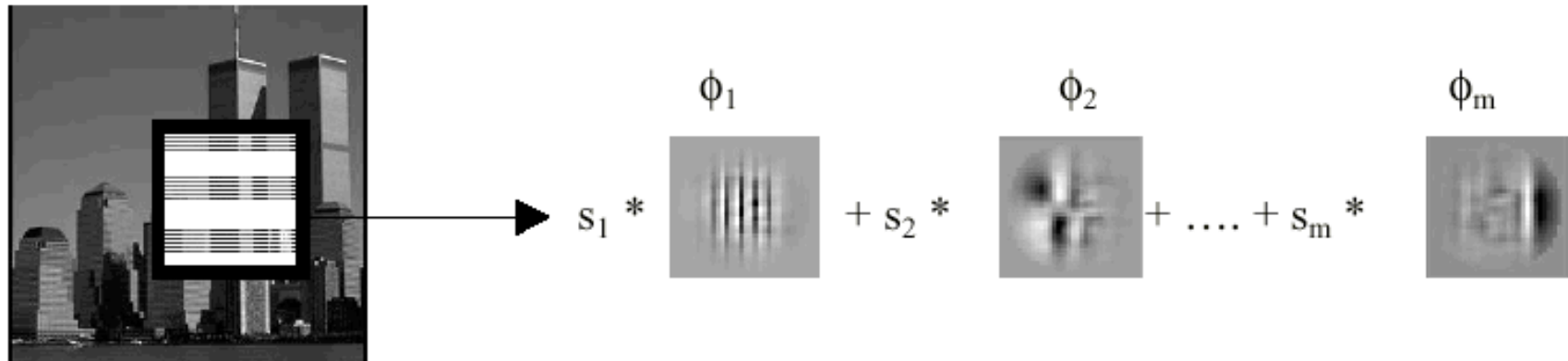
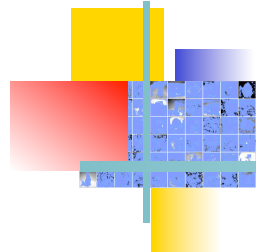


Figure 1 : Illustration de la décomposition d'une imagette dans la base Φ .

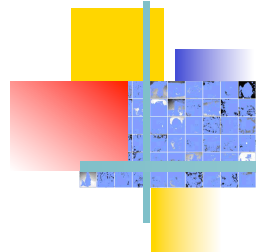
- Les scènes sont décomposées en imagettes ...
- ... codées par des superpositions linéaires de formes latentes



Le projet

- *Peut-on rechercher directement un codage clairsemé ?*
- Idée : **adapter des techniques de fouilles de données**

➔ *Recherche de motifs fréquents*



Les motifs fréquents

- **Le problème**

- Étant donné une base de données consistant en tuples,
trouver des règles d' association prédisant avec confiance quels items se trouvent souvent ensemble
(Frequent ItemSets)

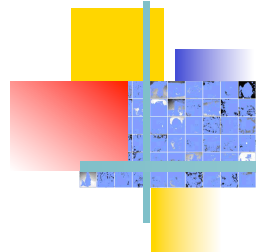
- **Exemple canonique (mais mythique)**

- Les caddys dans les supermarchés
 - Un tuple = ensemble d' items achetés ensemble

- **En général :**

- Beaucoup de motifs fréquents
 - Mais peu qui soient vérifiés ensemble

➡ **Codage clairsemé**



Contraintes sur les motifs

■ Représentativité

- Chaque image correspond à un nombre **suffisant** de motifs

■ Codage clairsemé

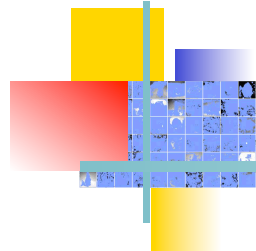
- Chaque image correspond à un nombre **limité** de motifs

■ Orthogonalité des motifs

- Chaque couple de motifs a **peu d'images en commun**

■ + Contraintes sémantiques

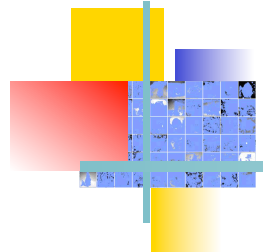
- E.g. : motifs **connexes** (zones de l' image)
- E.g. : motifs **en ligne** (contours)
- ...



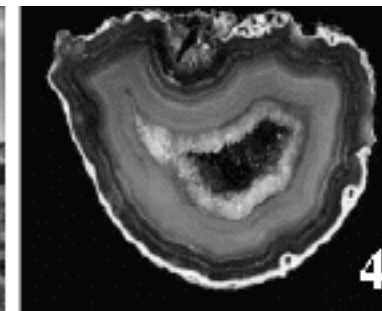
Les données

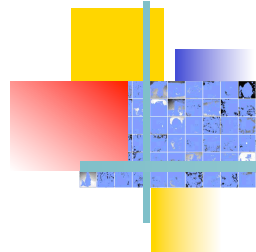
- Base d' images tirées de la base COREL
- **12 classes** différentes de scènes
- Base de **1080 images** (90 images / classe)
- $128 \times 128 = 16384$ en 128 niveaux de gris
- ou : $64 \times 64 = 4096$ en 32 ou 16 niveaux de gris

On utilise **540 images** pour chercher **1000 motifs fréquents**



La base d'images





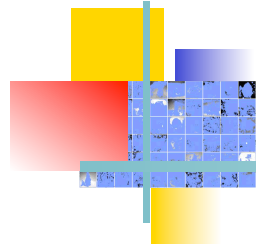
Constat

- L'application directe de APRIORI est impossible
- Il y a trop de motifs fréquents

Nb. élts / motif	1	2	3	4	5	6
Nb motifs	$2 \cdot 10^3$	$110 \cdot 10^3$	$3,8 \cdot 10^6$	$80 \cdot 10^6$	$1,15 \cdot 10^9$	$12,5 \cdot 10^9$

Pour images 32 x 32 en 64 niveaux de gris

► *Il faut adapter l'algorithme et faire une recherche stochastique et non plus exhaustive*



Adaptation de l'algorithme

Recherche itérative et stochastique de motifs fréquents

- Paramètres : taux de couverture ε . Nombre de motifs cherchés = N
 - Nombre de motifs trouvés = n
-

Tant que $n \leq N$ **faire**

 Choix dans **un exemple** x_i **encore peu couvert** d' un premier atome a_0 présent dans au moins ε des exemples

$motif \leftarrow a_0$

Tant que taux de couverture de $motif > \varepsilon$ **faire**

 Tirer au hasard un atome a de x_i couvrant au moins ε des exemples et **peu utilisé dans les motifs existants** et satisfaisant les **contraintes sémantiques**

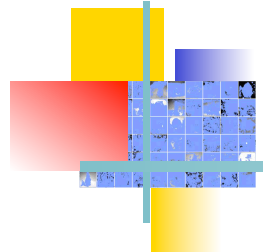
Si $motif+a$ couvre au moins ε des exemple **alors**

$motif \leftarrow motif + a$

fin si

Fin tant que

Fin tant que



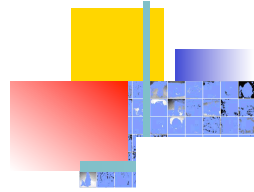
Les expériences

■ Nouvelles contraintes (choix des pixels)

- *Min* : les moins présents dans les motifs
- *Connexe* : touchant les précédents
- *Ligne* : formant des lignes

■ Paramètres

- *Taille image* : 64 x 64 x 16 (niveaux de gris)
- *Taux de couverture* : 1, 2, 5, 10 %



Codage clairsemé Nb de FIS / images

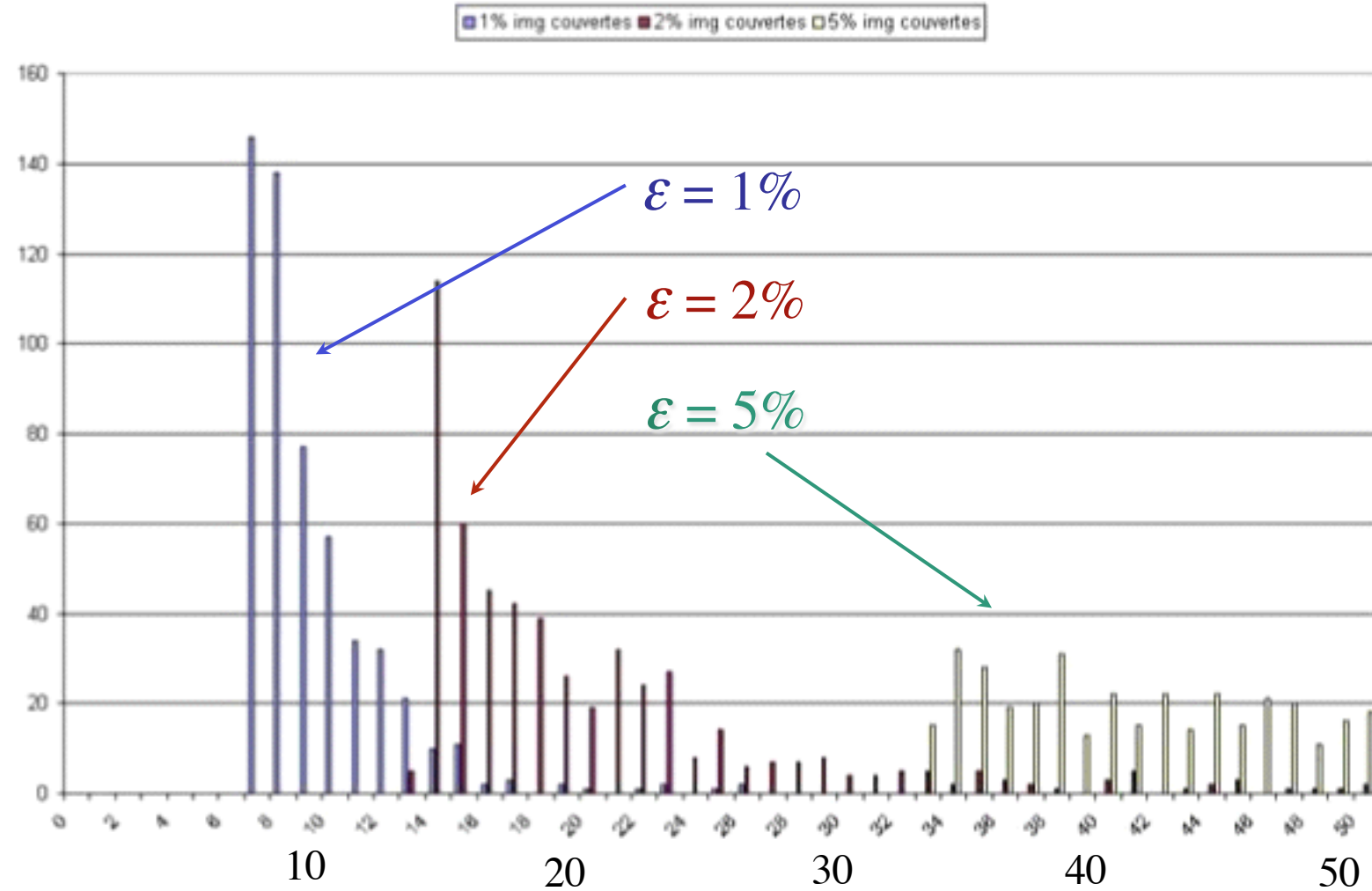
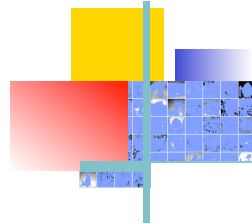


FIG. 6.22 – Histogramme représentant le nombre d'images (en ordonnée) activant N FIS (en abscisse). Ces fonctions ont été calculées à partir d'images de taille 64x64 en 16 niveaux de gris. La troisième méthode de choix des pixels (pixels se touchant) est utilisée. Un bon histogramme a le moins de valeurs possibles (très "groupé".)



Codage clairsemé Nb de FIS / images

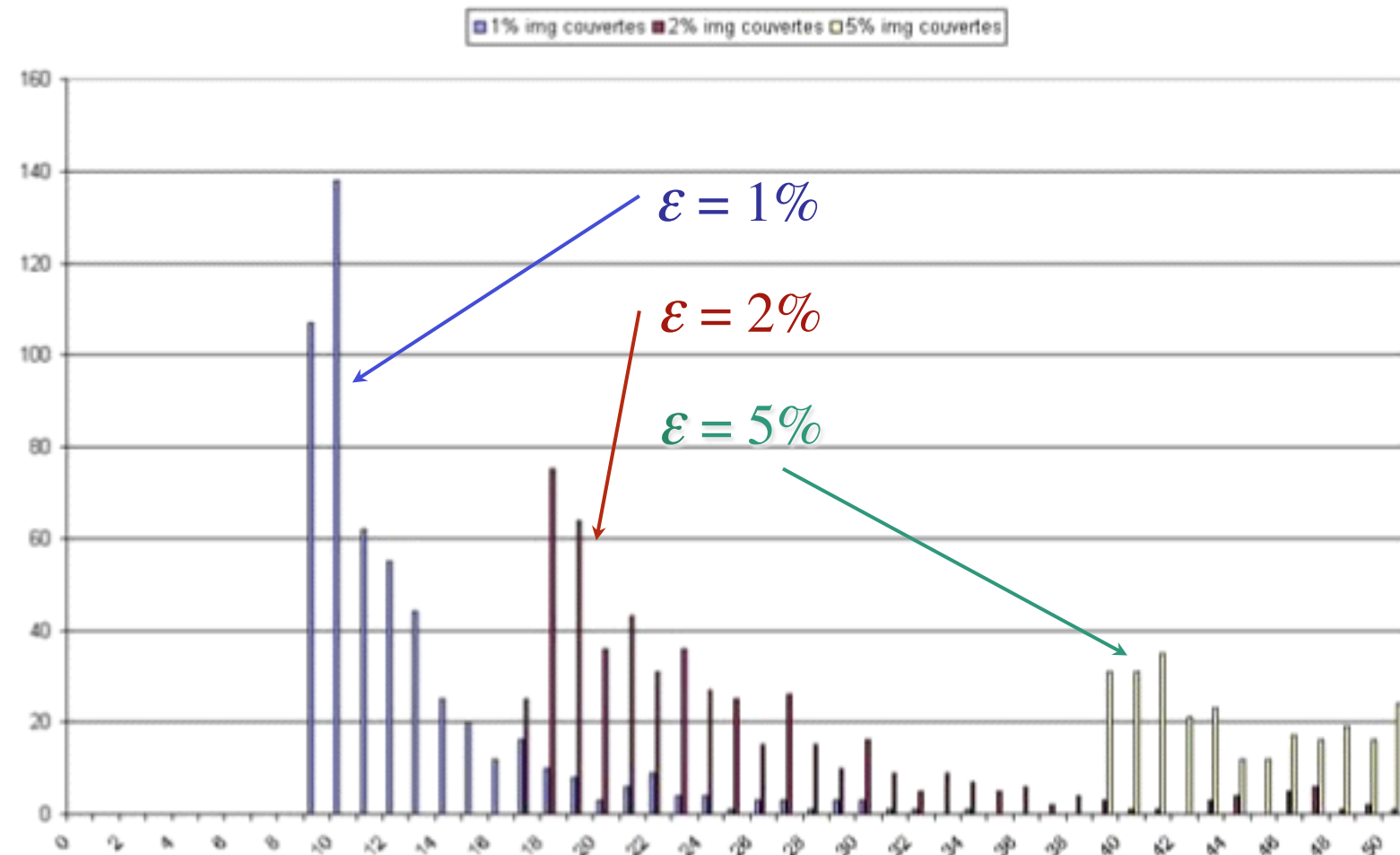
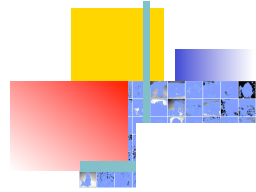


FIG. 6.23 – Histogramme représentant le nombre d'images (en ordonnée) activant N FIS (en abscisse). Ces fonctions ont été calculées à partir d'images de taille 64x64 en 16 niveaux de gris. La quatrième méthode de choix des pixels (pixels formant une ligne) est utilisée. Un bon histogramme a le moins de valeurs possibles (très "groupé").



Orthogonalité

Nb images par couple de motifs

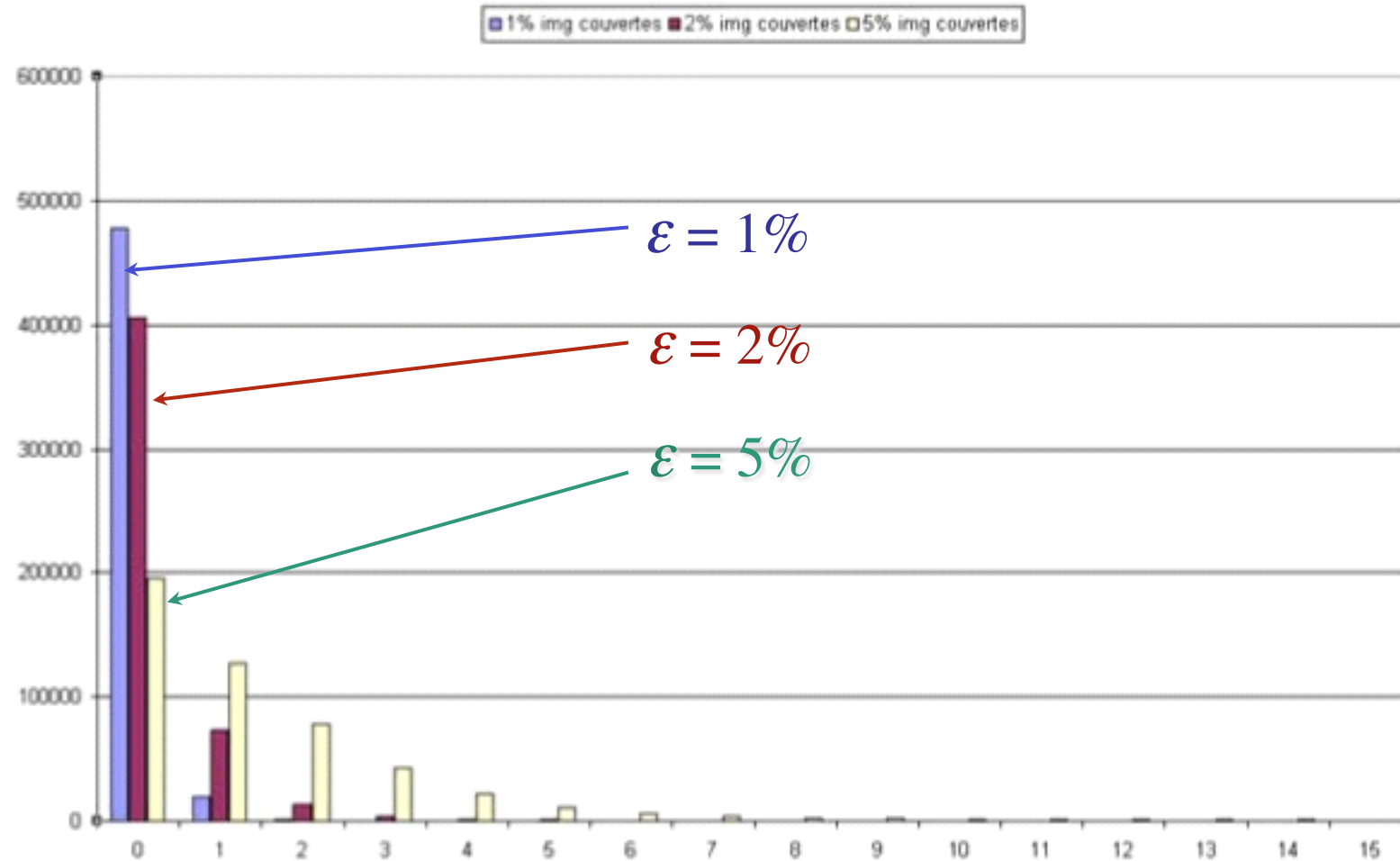
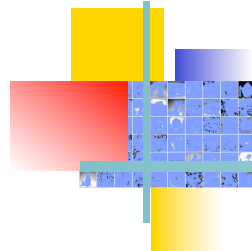
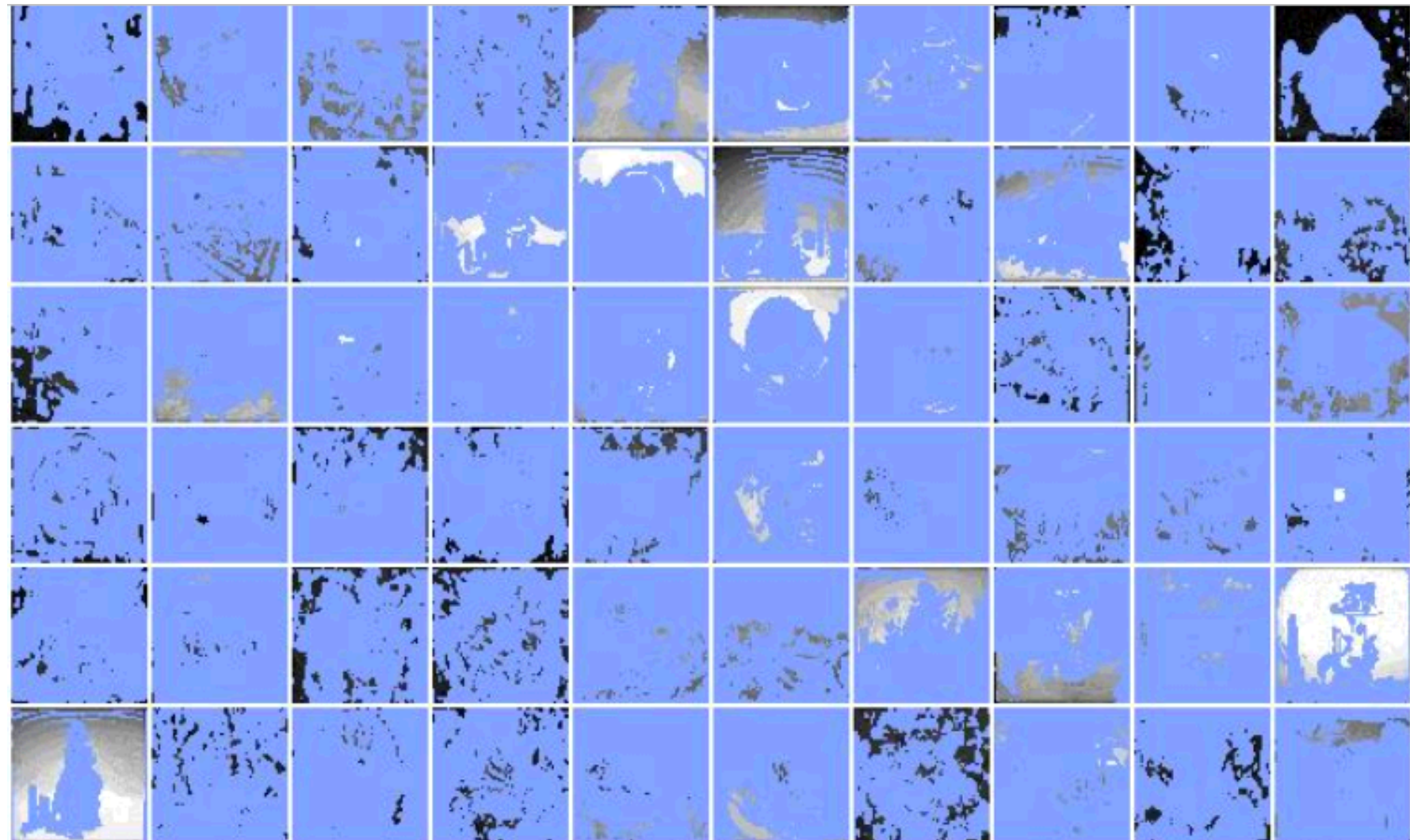
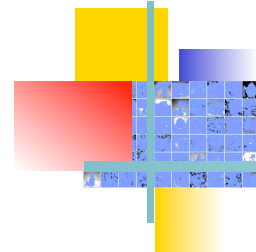


FIG. 6.18 – Histogramme représentant le nombre de couples de fonctions (en ordonnée) ayant N images en commun (en abscisse). Ces fonctions ont été calculées à partir d'images de taille 64x64 en 16 niveaux de gris. La troisième méthode de choix des pixels (pixels se touchant) est utilisée. Un bon histogramme a le moins possible de valeurs élevées.

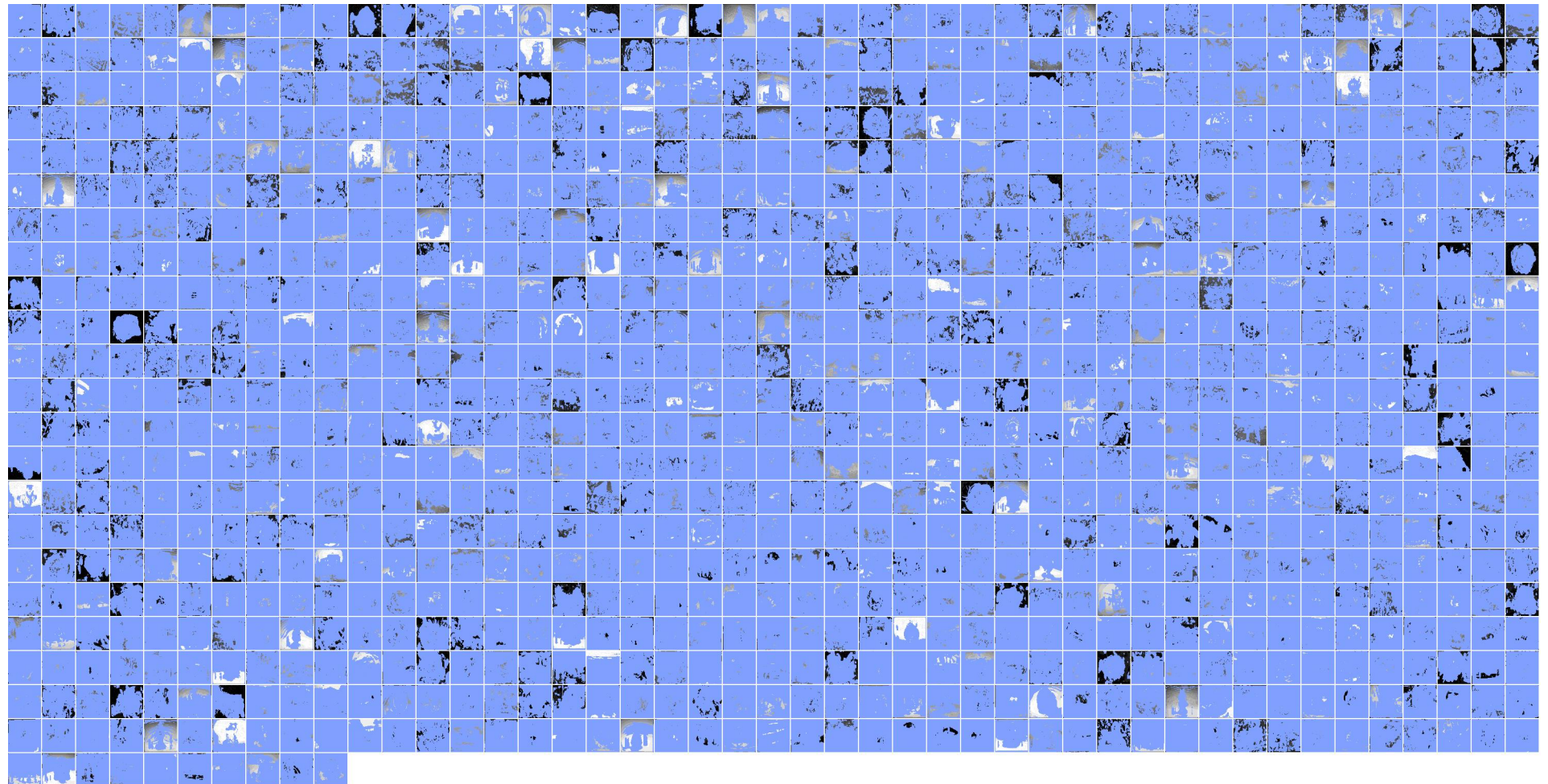


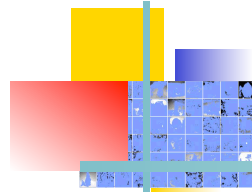
FIS : min_1%



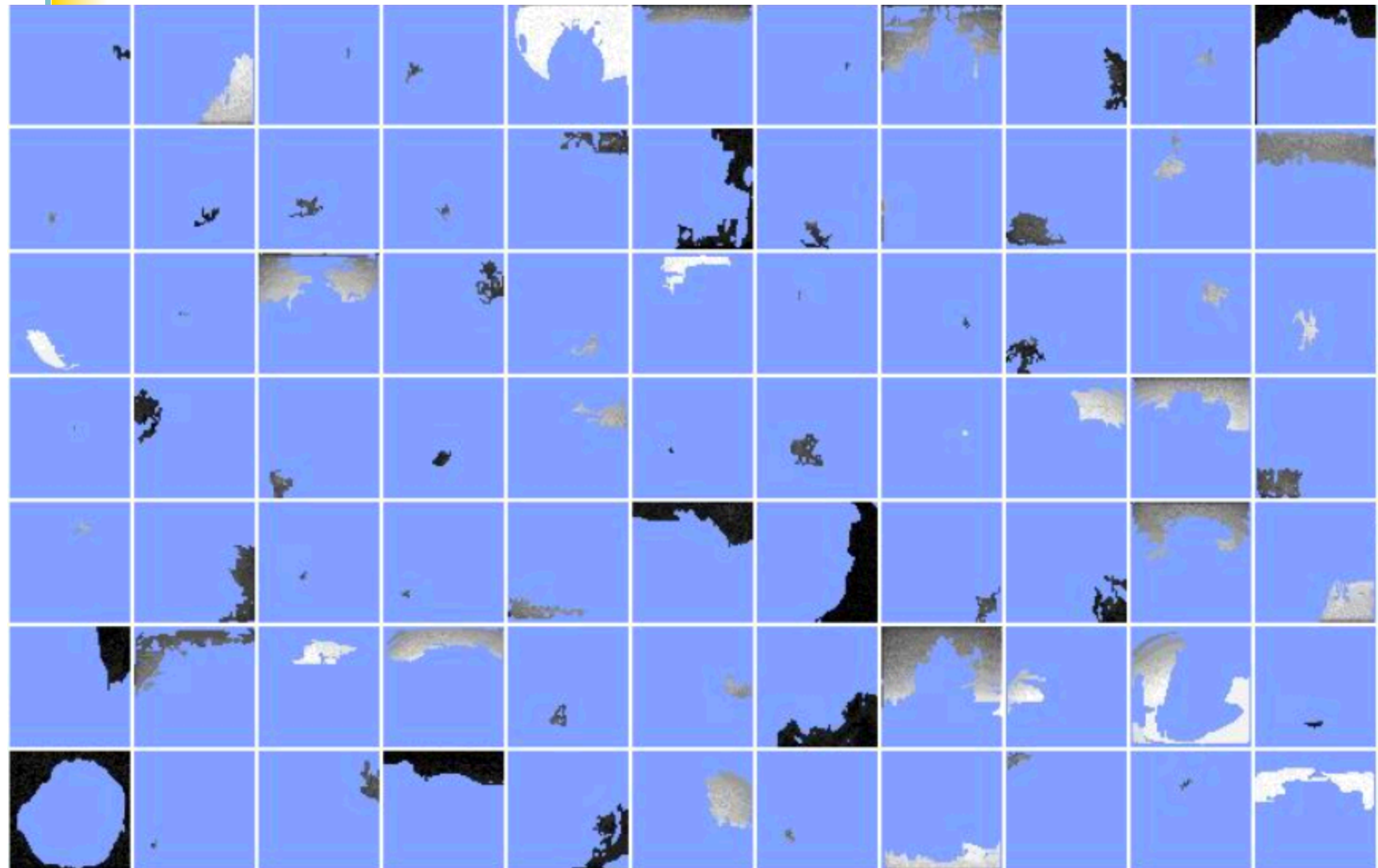


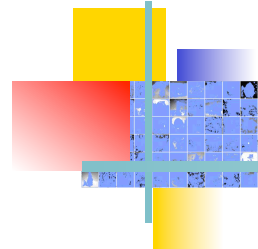
FIS : min_1%



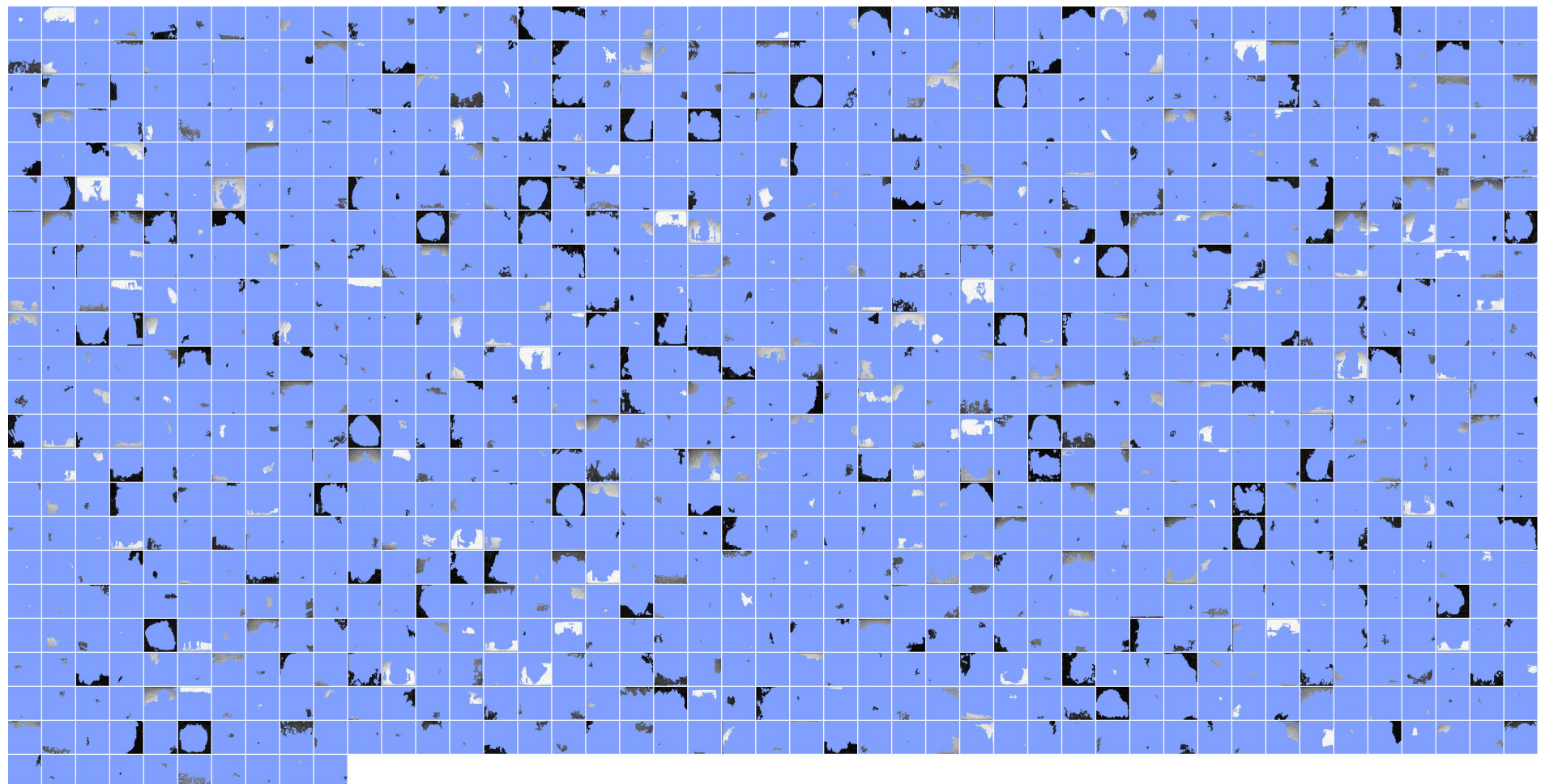


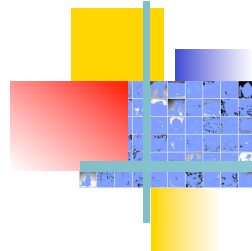
FIS : connexe_1%



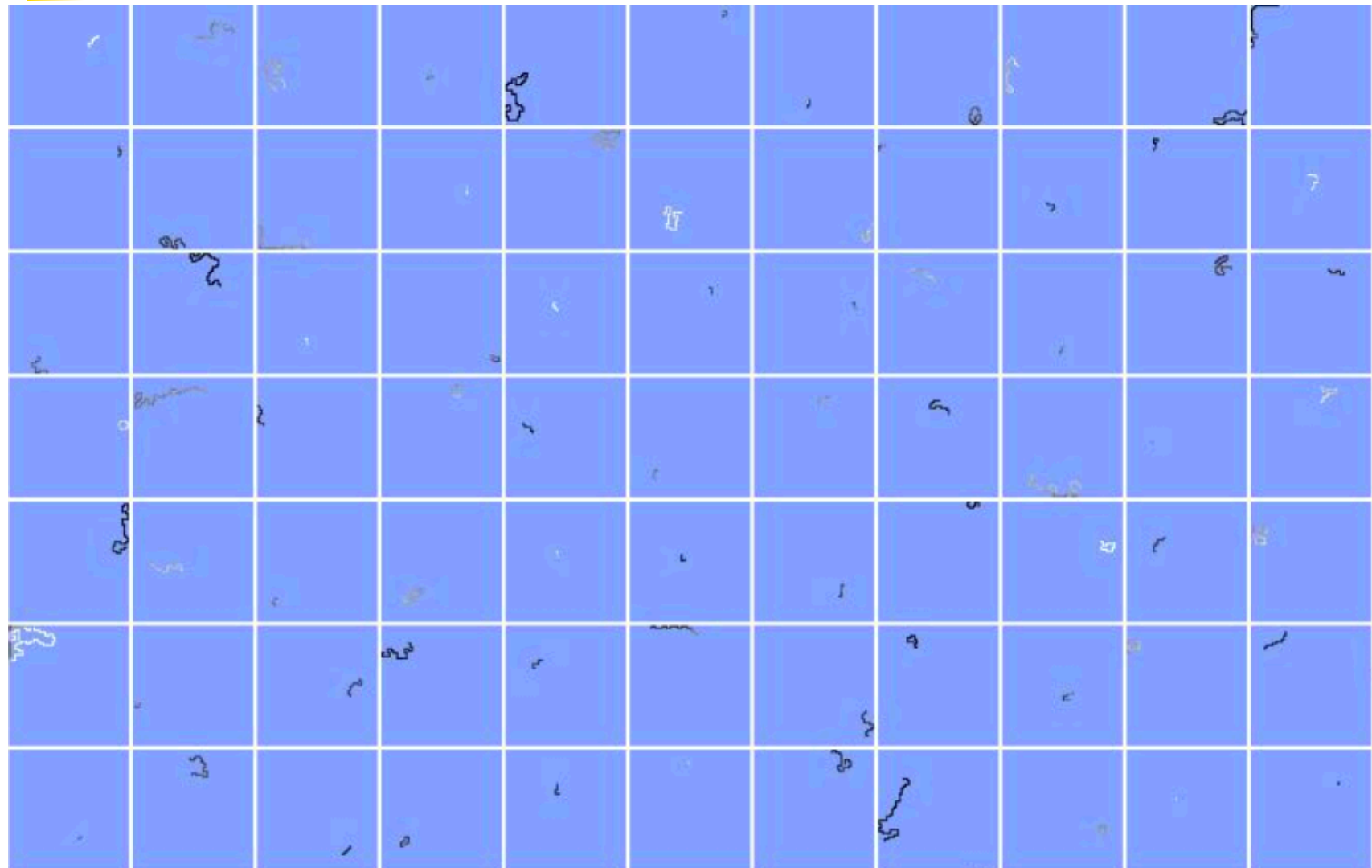


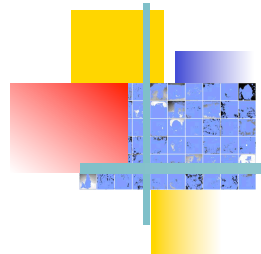
FIS : connexe_1%



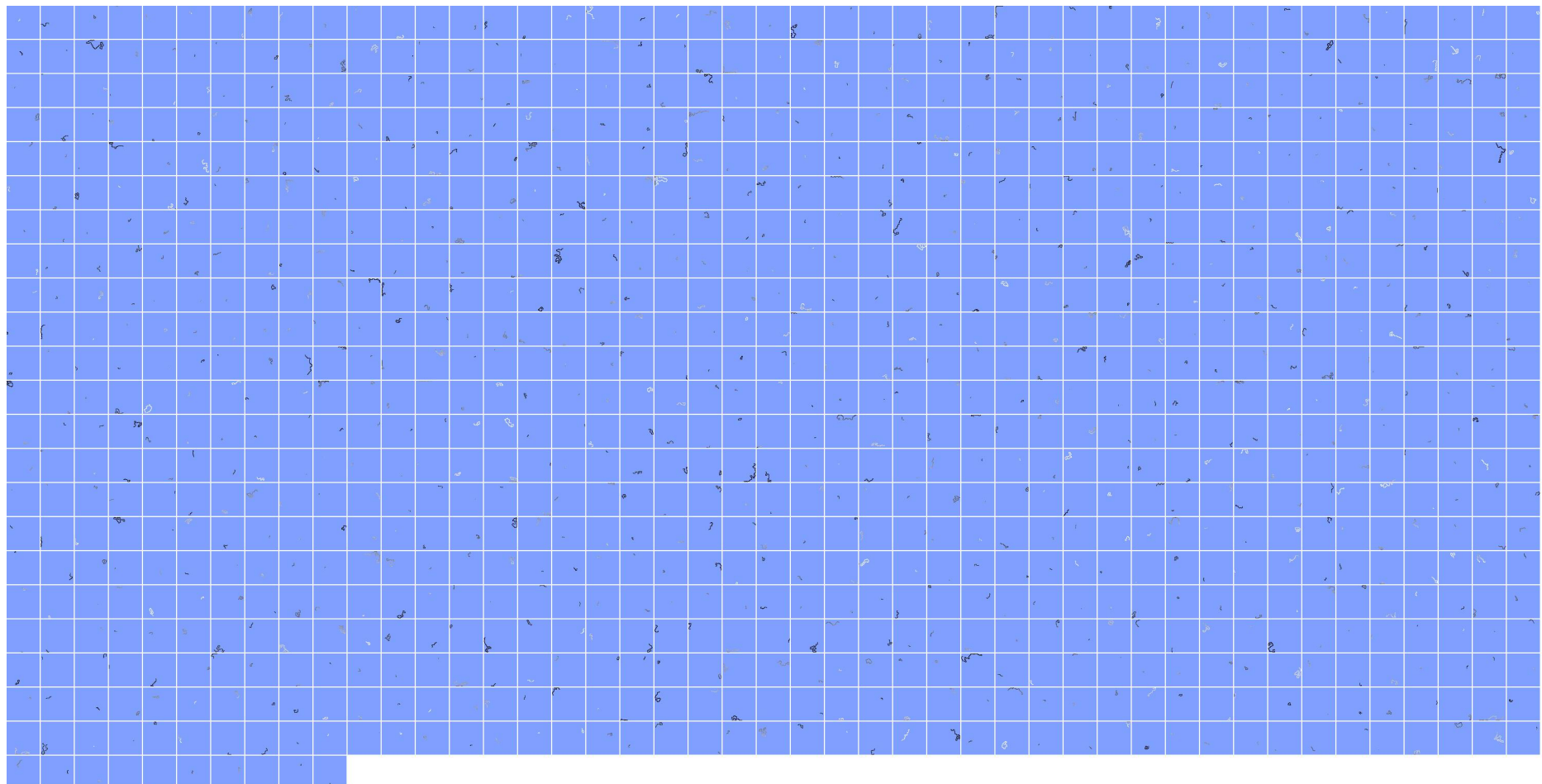


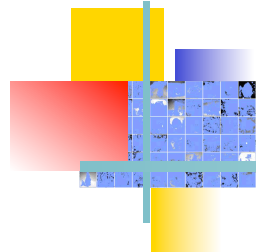
FIS : ligne_1%





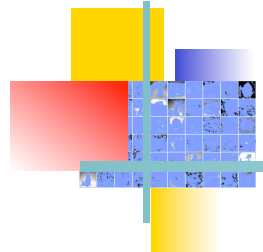
FIS : ligne_1%





Analyse

- **Difficilement interprétables !!**
- **Pas de contours**, même quand contraintes dans ce sens
- Malheureusement **pas de comparaison possible avec ACI**
puisque ACI non praticable

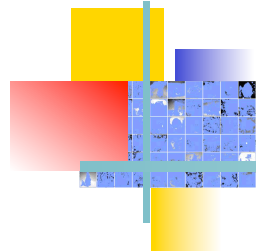


La classification : le protocole

- Apprentissage d' une base de **1000 motifs sur 540 images**
- Les paramètres :
 - Taille image (32 x 32, 64 x 64 ou 128 x 128)
 - Niveaux de gris (16, 32 ou 64)
 - Taux de couverture (1%, 2%, 5% ou 10%)

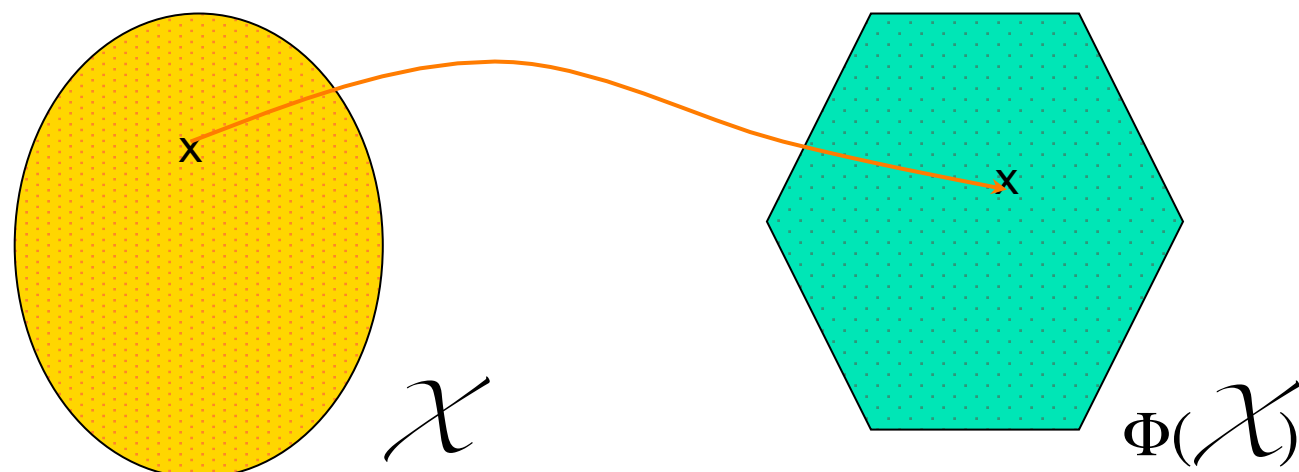
➡ Test sur les **540 images restantes** (répété 10 fois)

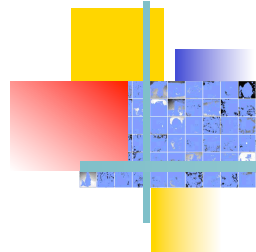
- Note : Tous les résultats sont disponibles sur :
<http://www.eleves.iie.cnam.fr/jouteau>



La classification : la méthode

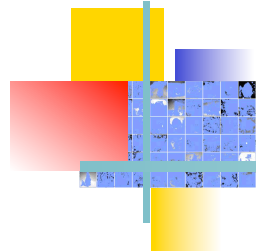
- Chaque *exemple* (dans \mathcal{X}) est *décrit par ses motifs* (dans $\Phi(\mathcal{X})$)
- Un nouvel exemple est **classé par une méthode de plus proches voisins** (dans l' espace de redescription $\Phi(\mathcal{X})$)
 - 1-ppv
 - ou k -ppv avec pondération en fonction de la distance





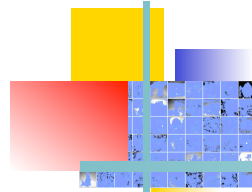
Performances ($\varepsilon = 5\%$)

	Av	Pl	Ut	Mi	Ch	Po	Ve	Pa	Por	Fi	Vo	Fl
Avi	67%	2%	-	-	2%	2%	10%	10%	4%	2%	-	-
Pla	-	21%	-	2%	7%	19%	10%	12%	5%	-	19%	5%
Uta	17%	-	33%	-	7%	-	-	3%	10%	10%	13%	7%
Min	-	-	-	100%	-	-	-	-	-	-	-	-
Chi	26%	5%	7%	-	14%	9%	12%	9%	5%	2%	12%	-
Poi	5%	13%	3%	8%	-	13%	18%	21%	-	3%	10%	8%
Ver	2%	2%	-	-	10%	7%	43%	-	21%	5%	7%	2%
Pap	6%	6%	-	-	2%	14%	14%	35%	6%	-	12%	4%
Por	2%	2%	-	-	-	2%	-	12%	70%	10%	-	2%
Fig	-	-	-	-	-	-	6%	-	24%	70%	-	-
Voi	21%	6%	-	-	4%	4%	8%	4%	4%	29%	19%	-
Fle	2%	9%	-	-	-	9%	21%	14%	-	-	16%	28%



Avec un réseau de neurones RBF

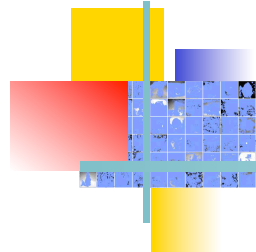
	Av	Pl	Ut	Mi	Ch	Po	Ve	Pa	Por	Fi	Vo	Fl	Rj
Avi	50.7	-	3.3	-	-	-	-	-	-	-	1.3	-	44.7
Pla	-	-	-	6.3	0.8	-	-	-	-	-	-	1.6	91.3
Uta	1.1	-	23.3	-	3.3	1.1	-	-	2.2	-	-	-	68.9
Min	0.8	-	0.8	28.8	-	2.3	-	0.8	-	-	-	3.0	63.6
Chi	-	-	4.0	0.8	11.1	2.4	-	0.8	-	-	3.2	0.8	77
Poi	-	-	3.7	2.2	-	0.7	-	-	-	-	0.7	0.7	91.9
Ver	-	-	2.9	-	0.7	-	9.4	-	20.3	15.9	-	-	50.7
Pap	-	-	-	7.3	-	1.3	-	13.3	1.3	-	-	-	76.7
Por	2.0	-	0.7	-	-	-	0.7	-	45.3	4.7	-	-	46.7
Fig	-	-	-	-	-	-	18.7	-	6.7	42.0	0.7	-	32
Voi	4.1	-	-	-	2.0	-	-	-	-	2.0	34.0	-	57.8
Fle	-	-	-	2.1	-	0.7	-	1.4	-	-	0.7	24.8	70.2



Comparaison

	Av	Pl	Ut	Mi	Ch	Po	Ve	Pa	Por	Fi	Vo	Fl
Avi	67%	2%	-	-	2%	2%	10%	10%	4%	2%	-	-
Pla	-	21%	-	2%	7%	19%	10%	12%	5%	-	19%	5%
Uta	17%	-	33%	-	7%	-	-	3%	10%	10%	13%	7%
Min	-	-	-	100%	-	-	-	-	-	-	-	-
Chi	26%	5%	7%	-	14%	9%	12%	9%	5%	2%	12%	-
Poi	5%	13%	3%	8%	-	13%	18%	21%	-	3%	10%	8%
Ver	2%	2%	-	-	10%	7%	43%	-	21%	5%	7%	2%
Pap	6%	6%	-	-	2%	14%	14%	35%	6%	-	12%	4%
Por	2%	2%	-	-	-	2%	-	12%	70%	10%	-	2%
Fig	-	-	-	-	-	-	6%	-	24%	70%	-	-
Voi	21%	6%	-	-	4%	4%	8%	4%	4%	29%	19%	-
Fle	2%	9%	-	-	-	9%	21%	14%	-	-	16%	28%

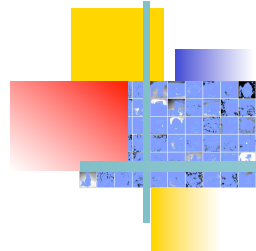
	Av	Pl	Ut	Mi	Ch	Po	Ve	Pa	Por	Fi	Vo	Fl	Rj
Avi	50.7	-	3.3	-	-	-	-	-	-	-	1.3	-	44.7
Pla	-	-	-	6.3	0.8	-	-	-	-	-	-	1.6	91.3
Uta	1.1	-	23.3	-	3.3	1.1	-	-	2.2	-	-	-	68.9
Min	0.8	-	0.8	28.8	-	2.3	-	0.8	-	-	-	3.0	63.6
Chi	-	-	4.0	0.8	11.1	2.4	-	0.8	-	-	3.2	0.8	77
Poi	-	-	3.7	2.2	-	0.7	-	-	-	-	0.7	0.7	91.9
Ver	-	-	2.9	-	0.7	-	9.4	-	20.3	15.9	-	-	50.7
Pap	-	-	-	7.3	-	1.3	-	13.3	1.3	-	-	-	76.7
Por	2.0	-	0.7	-	-	-	0.7	-	45.3	4.7	-	-	46.7
Fig	-	-	-	-	-	-	18.7	-	6.7	42.0	0.7	-	32
Voi	4.1	-	-	-	2.0	-	-	-	2.0	34.0	-	-	57.8
Fle	-	-	-	2.1	-	0.7	-	1.4	-	-	0.7	24.8	70.2



Performances en classification

■ Résultats

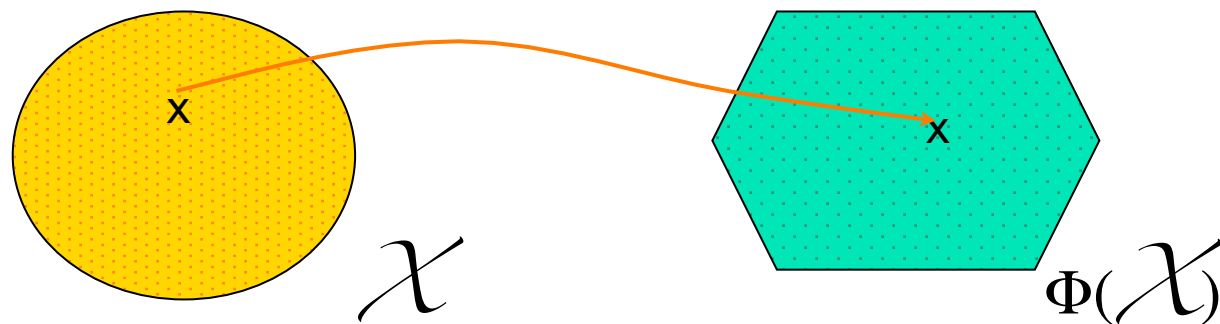
- Meilleurs résultats pour $\epsilon = 2$ ou 5 %
 - Assez comparable : *min, connexe, ligne*
 - Bien meilleurs que méthode RN
-
- Peut mieux faire ...
 - Avec un appariement plus souple



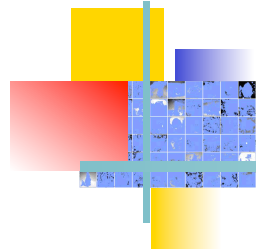
Analyse

- Pourquoi ça marche (si bien) ?

- Recodage non supervisé !!
- Puis une méthode de plus proche(s) voisin(s)



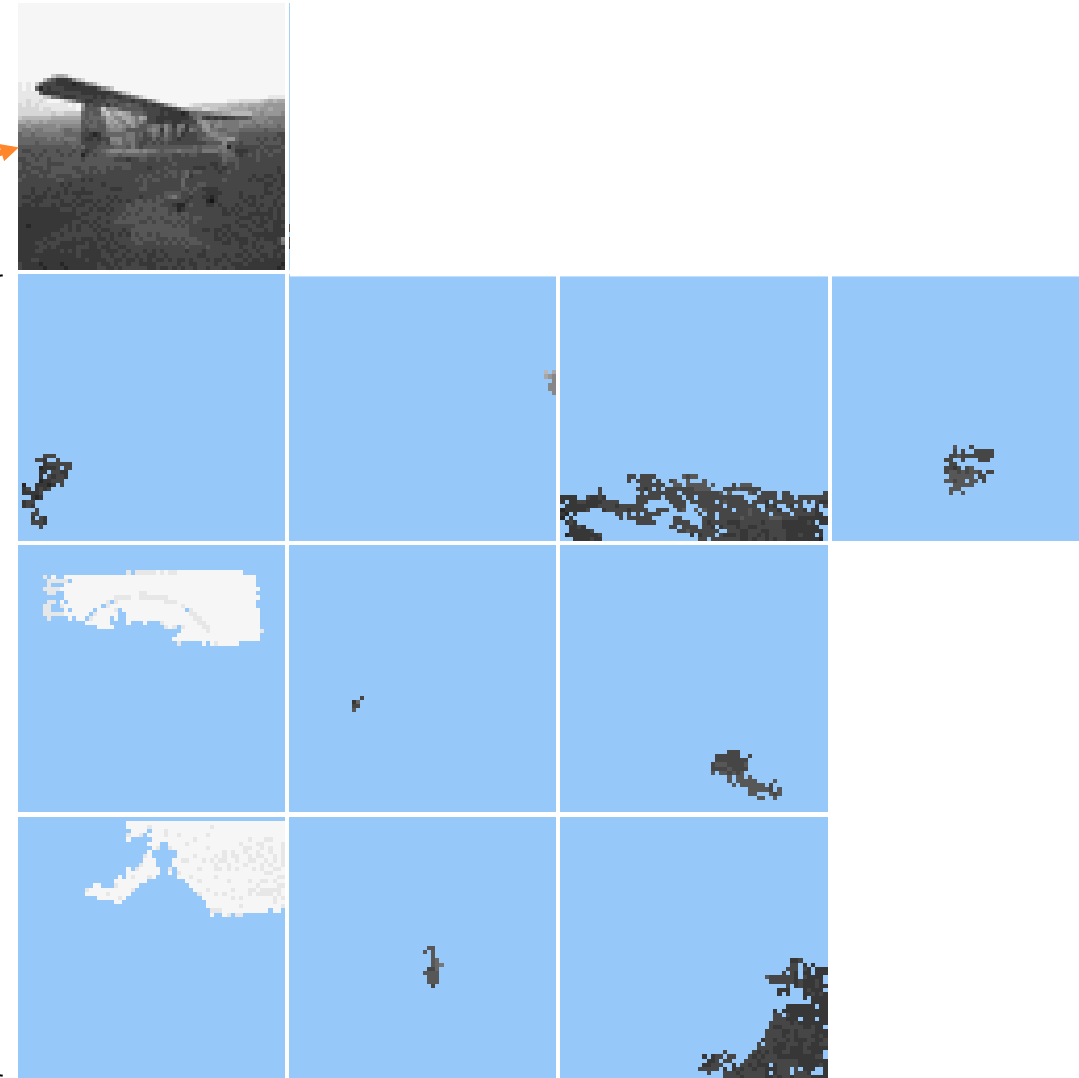
Quelles sont les propriétés de ce recodage ?

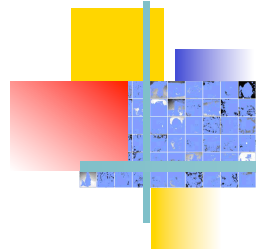


Codage d'une image

Image

Motifs
présents
dans
l' image

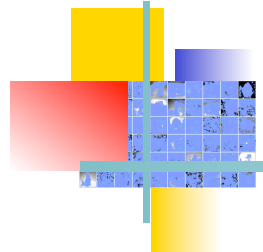




Approches classiques

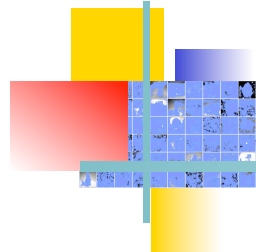
... et moins classiques

	Réduction	Orthogonalité	Indép. des données	Approximation
<i>Analyse fonctionnelle</i>	+/-	✓	✓	✓
<i>PCA</i>	✓	✓		✓
<i>Apprent. artificiel</i>	✓			✓
<i>ICA</i>				✓



Le codage par motifs fréquents

- Ne permet pas la reconstruction des entrées
- Les motifs sont orthogonaux : mais par rapport aux exemples d' apprentissage !!
- Espace C_{100}^{10}
- Tous les points d' apprentissage sont orthogonaux dans cet espace



Conclusion

- **Analyse théorique en cours**
 - **Expérimentations**
 - sur les scènes naturelles (poursuite du travail)
 - sur les puces ADN
 - sur la classification de textes de NewsGroups
- ➡ *Peut-être un nouveau type de traitement du signal*